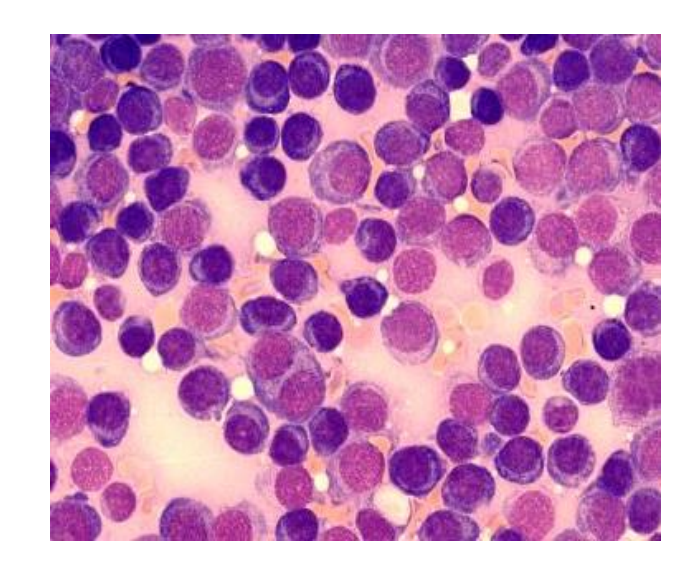


Unter Lymphome versteht man benigne oder maligne Lymphome, des B-lymphatischen - oder des T-lymphatischen Systems. In der Regel zeigt sich bei diesem Krankheitsbild eine Lymphozytose im peripheren Blut sowie Lymphknotenschwellungen. In der Klinik wird der Begriff Lymphome in der Regel mit malignen Tumoren in Verbindung gebracht, wo zwischen reifen B-Zell-Neoplasien und reifen T-Zell-Neoplasien unterscheiden wird.





Das Hodgkin- und das Non-Hodgkin-Lymphom sind bösartige Erkrankungen des Lymphsystems.

Der englische Arzt Sir Thomas Hodgkin beschrieb diese Krankheit zum ersten Mal im Jahr 1832, was damals schon eine große Herausforderung war.

Mit der neuen WHO Klassifikation der Lymphome (WHO 2024) stehen wir, heute 2025, wieder vor einer Herausforderung.

Auf Basis der Histologie und des Immunphänotyps beschreibt die WHO-Klassifikation 47 verschiedene Entitäten bei der reifen B-Zellneoplasien.





Die reifen B-Zell - Neoplasien in der Übersicht

Bei reifen B-Zellneoplasien handelt es sich um biologisch und klinisch hoch heterogene Erkrankungen des B-lymphatischen Systems.

Je nach Entität sind die klinischen Verläufe indolent bis aggressiv.



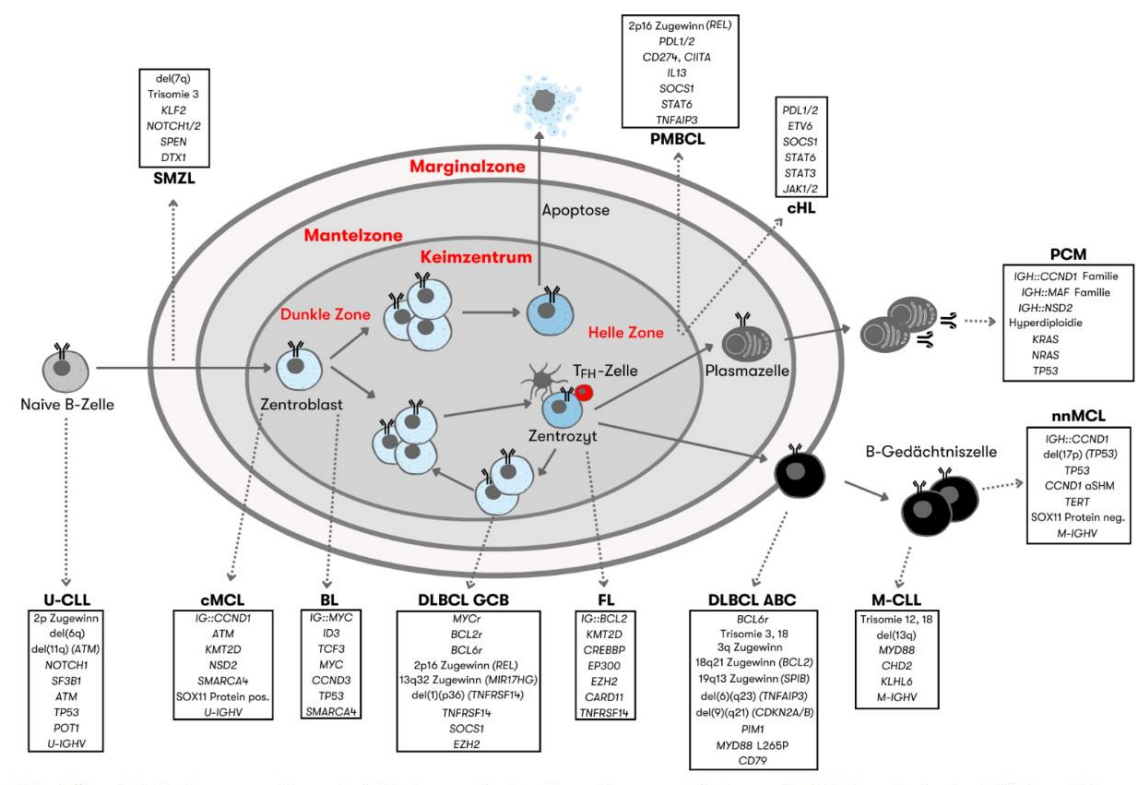


Abb. 1: Übersicht der Ursprungszellen und wichtigsten genetischen Aberrationen verschiedener reifer B-Zellneoplasien (modelliert nach López et al. 2024).

r=Rearrangement, U=unmutiert, M=mutiert, CLL=chronische lymphatische Leukämie, cMCL=konventionelles Mantelzell-Lymphom, BL=Burkitt Lymphom, DLBCL GCB= Diffus großzelliges B-Zelllymphom (Subtyp "germinal center B cells"), DLBCL ABC= Diffus großzelliges B-Zelllymphom (Subtyp "activated B cell"), FL=Follikuläres Lymphom, PCM=Plasmazellneoplasie, nnMCL=nicht nodales Mantelzell-Lymphom, cHL=klassisches Hodgkin-Lymphom, PMBCL=Primär mediastinales großzelliges B-Zell-Lymphom, SMZL=Splenisches Marginalzonenlymphom.



Diagnostik

Zytomorphologie:

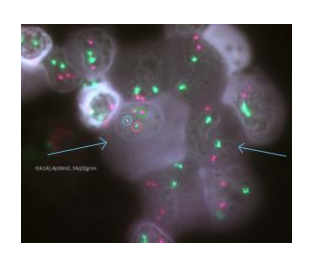
Beurteilung des Reife- und des Infiltrationsgrads im Knochenmark bzw. peripheren Blut.



Immunphänotypisierung:

Zuordnung zur B- oder T-Zellreihe. Viele Lymphomentitäten zeigen charakteristische Immunphänotypen (z.B. <u>FL</u> oder <u>MCL</u>), diese sind in Tabelle 1 zusammengefasst.

Chromosomenanalyse, FISH, Molekulargenetik: Nachweis charakteristischer genetischer Aberrationen



Immunhistochemie: Zentrale Rolle im Rahmen der Histopathologie, speziell auch der Lymphknoten.



Charakteristische Immunphänotypen:

Follikuläre Lymphome weisen eine starke Oberflächenexpression von Immunglobulinen auf und exprimieren meist das Antigen CD10, wohingegen CD5 nicht exprimiert wird.

Mantelzelllymphome

exprimieren CD5 und sind meist negativ für CD23 im Unterschied zur B-CLL.

Haarzellleukämie

exprimiert CD103, CD11c und CD25.

SBLPN (ehemalige Variante der Haarzellleukämie)

werden ebenfalls CD103 und CD11c exprimiert, CD25 wird hingegen nicht exprimiert.

Andere Lymphome zeigen weniger spezifische Immunphänotypen, z.B. das diffus großzellige B-Zell-Lymphom (DLBCL) oder das Marginalzonenlymphom.



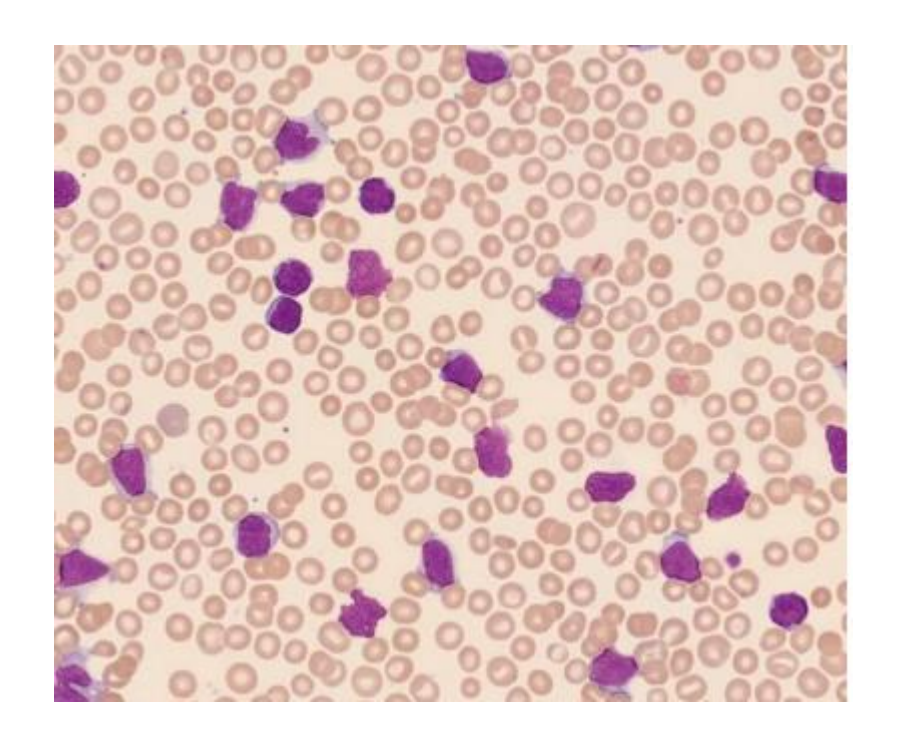
Tabelle 1: Charakteristische immunphänotypische Befunde bei ausgewählten B-Zell-Lymphomen

Antigen	CLL	MZL	SMZL	HZL	FL	MCL	DLBCL
CD19	+	+	+	+	+	+	+
CD20	(+)	+	+	+	+	+	+
CD22	(+)	+	+	+	+	+	+
CD23	+	-	-/+	-/+	+/-	-/+	+/-
CD25	-	-	-/+	+	-	-	
FMC7	-	+	+	+	+	+	+/-
CD79b	-	+	+	+	+	+	+
CD5	+	-	-	-/+	-	+	-
slg	(+)	(+)	(+)/+	(+)	+	+	+/-
CD10	-	-	-/+	-/+	+/-	-/+	-/+
CD11c	-	+/-	-/+	+	-	-	

CLL: chronische lymphatische Leukämie, MZL: Marginalzonenlymphom, SMZL: splenisches Marginalzonenlymphom, HZL: Haarzellleukämie, FL: follikuläres Lymphom, MCL: Mantelzelllymphom, DLBCL: diffus großzelliges B-Zell-Lymphom.



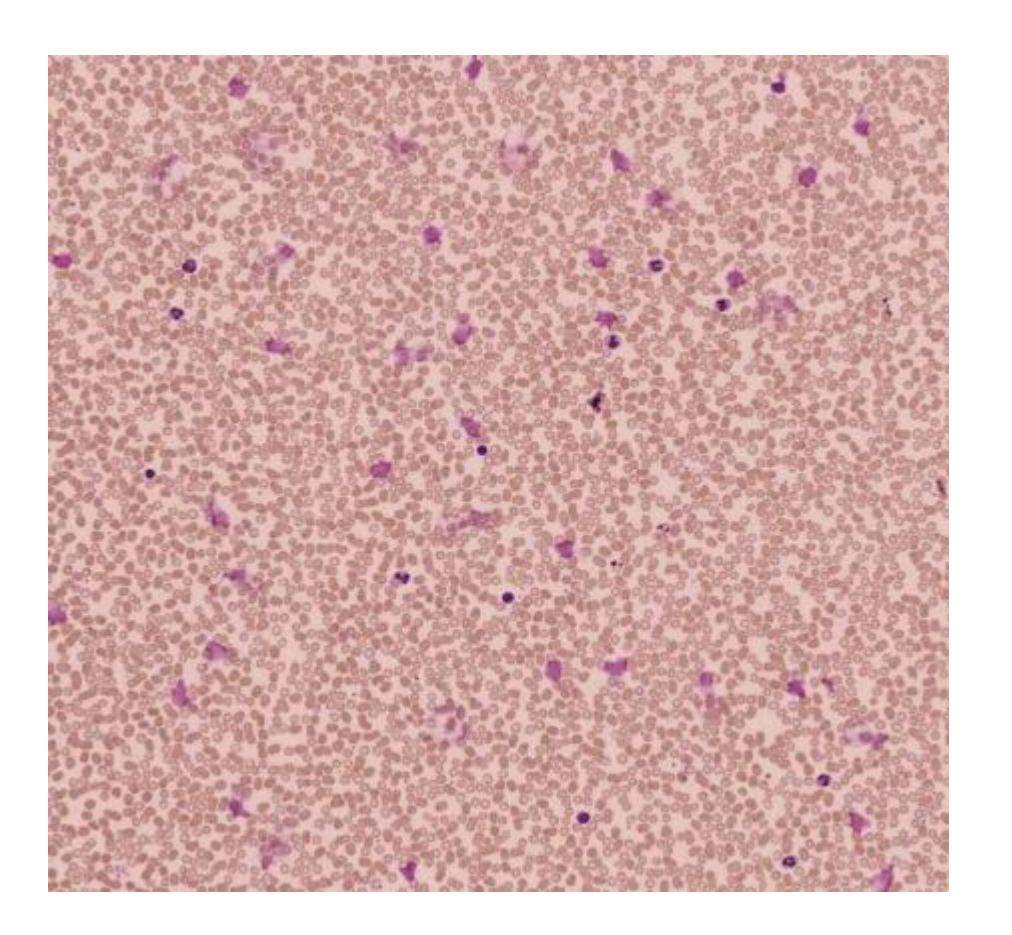
CLL (Chronische Lymphatische Leukämie)





CLL (Chronische Lymphatische Leukämie)

- reife B-Zellneoplasien
- gemeinsam mit der monoklonale B-Zellneoplasie (MBL) macht die CLL die Gruppe der ,prä-neoplastischen und neoplastischen kleinzelligen lymphatischen Proliferationserkrankungen' aus (WHO 2022).
- indolentes lymphozytisches Lymphom

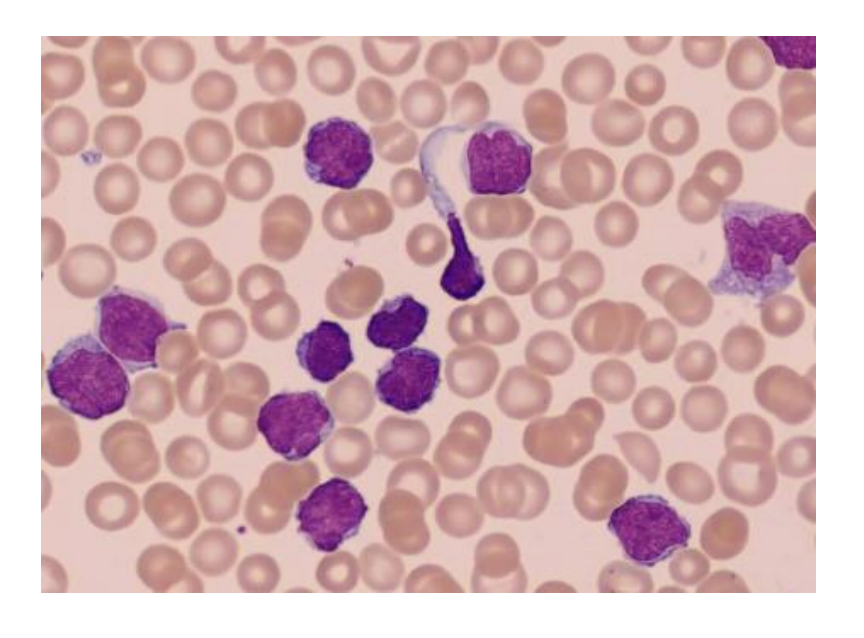




CLL (chronische lymphatische Leukämie)

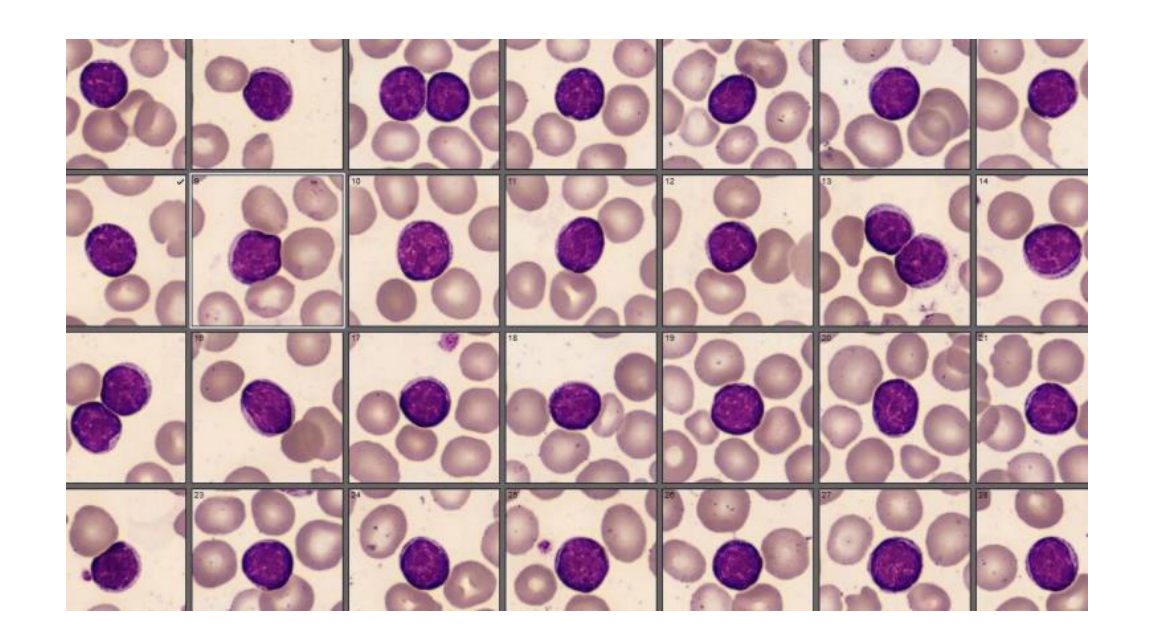
Zytologie

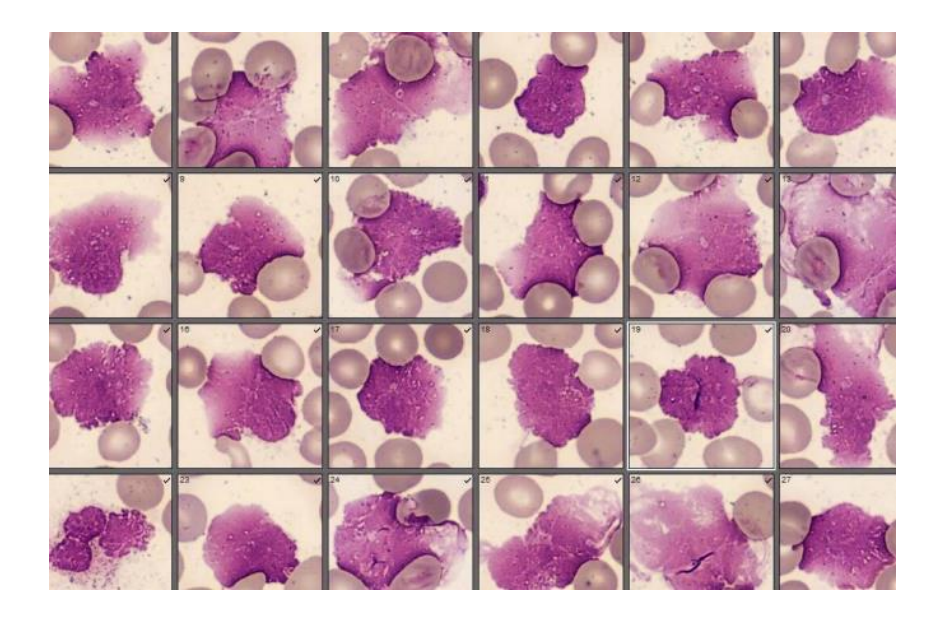
- Vermehrung reifer lymphatischer Zellen
- Lymphozyten >5.000/μl
- Gumprecht'sche Kernschatten, l\u00e4dierte Zelle (Ausstrichartefakt)
- Monomorphes Zellbild
- Lymphozyten mit rundem, dichten Kernchromatin
- Knochenmark: >30% kleinzellige Lymphozyten
- Blut und/oder Knochenmark >15% Prolymphozyten, die durch ein unreiferes Aussehen mit einem größeren Kern und einem deutlich sichtbaren Nukleolus charakterisiert sind
- Seltene Transformation einer B-CLL (Richter-Transformation). Es zeigen sich dann blastäre Zellen.





CLL (Chronische Lymphatische Leukämie)





Ausstrich pB am DC-1 Fa. CellaVision



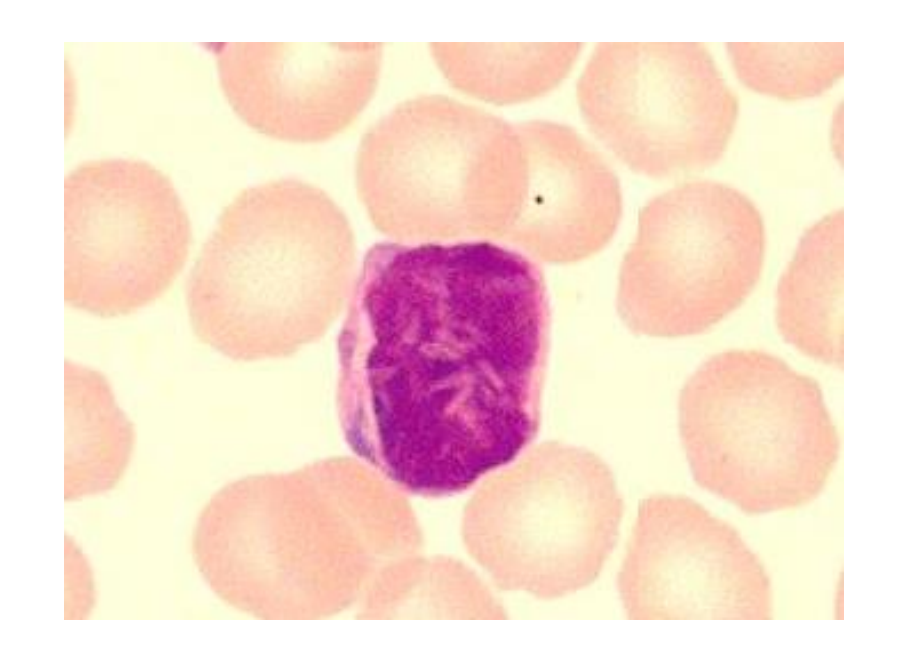
CLL (Chronische Lymphatische Leukämie)

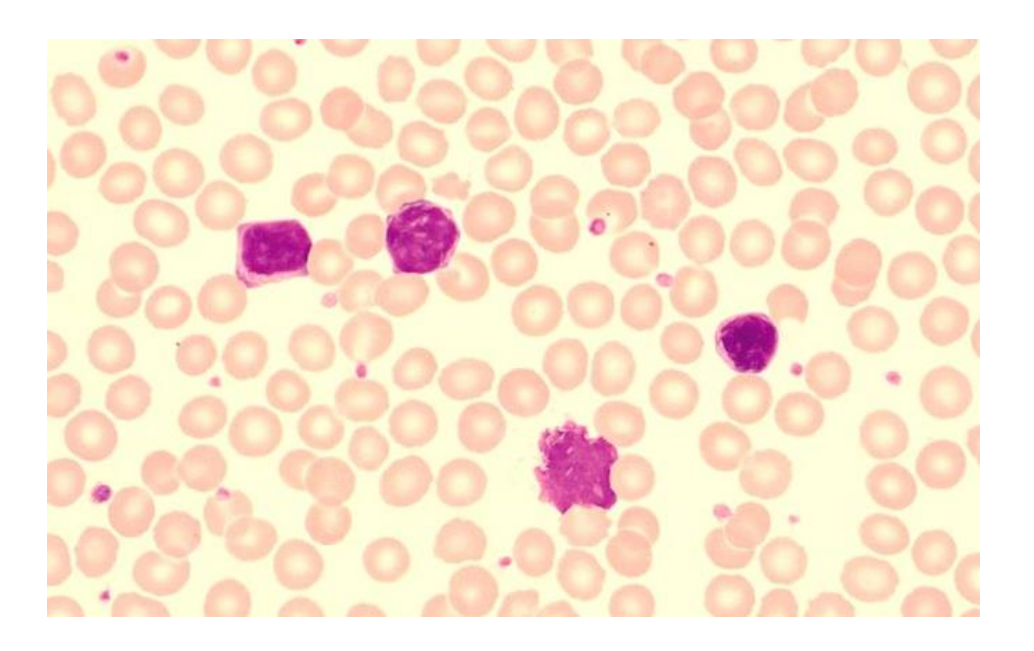
Immunphänotypisierung:

Phänotyp der CLL:

- Expression von: CD19, cyCD79a, CD5 (aberrante Expression), CD23
- Schwache Expression von: CD20, Oberflächenimmunglobuline mit einer klonalen Leichtkettenrestriktion
- Schwache bis fehlende Expression von: FMC7, CD79b







Lymphozyten und Gumprecht'sche Kernschatten mit Immunglobulineinschlüsse



Abgrenzung zur MBL und Differentialdiagnostik bei prolymphozytischer Progression

MBL:

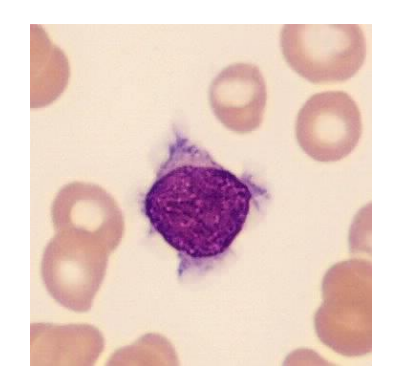
Von der CLL wird die monoklonale B-Zelllymphozytose vom CLL-Typ (MBL) abgegrenzt: Hier findet sich eine monoklonale B-Zell-Population < 5 x 10⁹/L im peripheren Blut; der Immunphänotyp entspricht dem einer CLL.

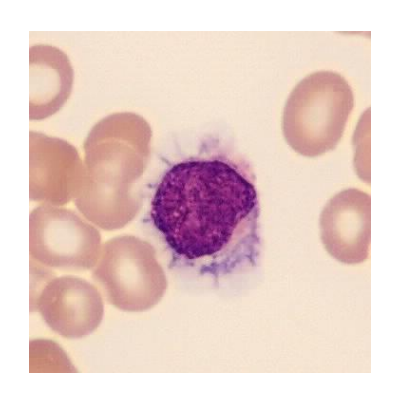
Prolymphozytische Progression:

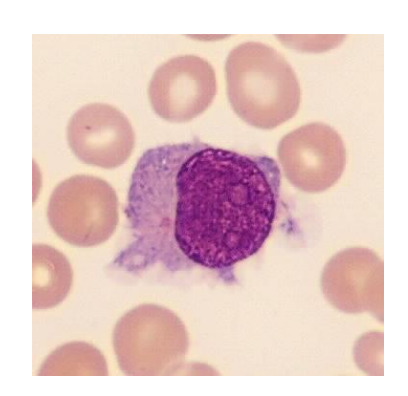
Bei einer prolymphozytischen Progression einer CLL, bei der >15% Prolymphozyten im Blut und/oder Knochenmark nachweisbar sind (s.o.), ist eine Abgrenzung zu den B-Zellneoplasien des *IGH*::*CCND1*-positiven Mantelzelllymphoms (MCL) und des CD5-negativen splenischen B-Zelllymphoms (SMZL) mit prominenten Nukleoli wesentlich (WHO 2022).

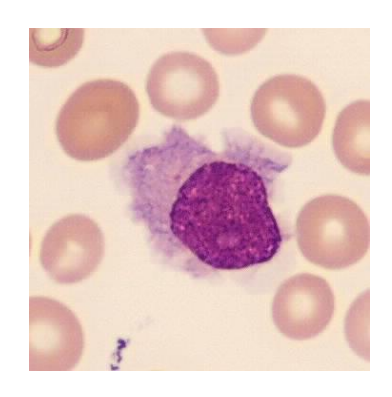


Haarzellleukämie (HZL)





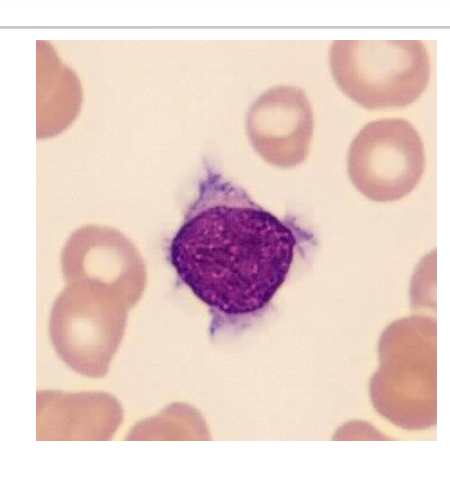






Haarzellleukämie (HZL)

- reife B-Zellneoplasie
- molekulargenetisch relevant ist die BRAF-Mutation V600E, die praktisch bei allen Patienten mit klassischer Haarzellleukämie nachweisbar und zur Abgrenzung gegenüber anderen indolenten Non-Hodgkin-Lymphomen hilfreich ist (WHO 2022).
- Der neoplastische Lymphozyt weist namensgebenden auffällige und feine haarige Fortsätze auf, die sich in Umfangsrichtung befinden und kleine Vakuolen aufweisen können (WHO 2022).
- In der Regel zeigen im peripheren Blutausstrich keine Monozyten.
- Die Untersuchung des Knochenmarksaspirates und insbesondere des Knochenmarksbiopsates ist wesentlich, um das Ausmaß der Knochenmarkinfiltration zu bestimmen.
- "Trockenen Punktion" ("punctio sicca"), bedingt durch die Retikulinfibrose, die mit der Erkrankung einhergeht (WHO 2022).





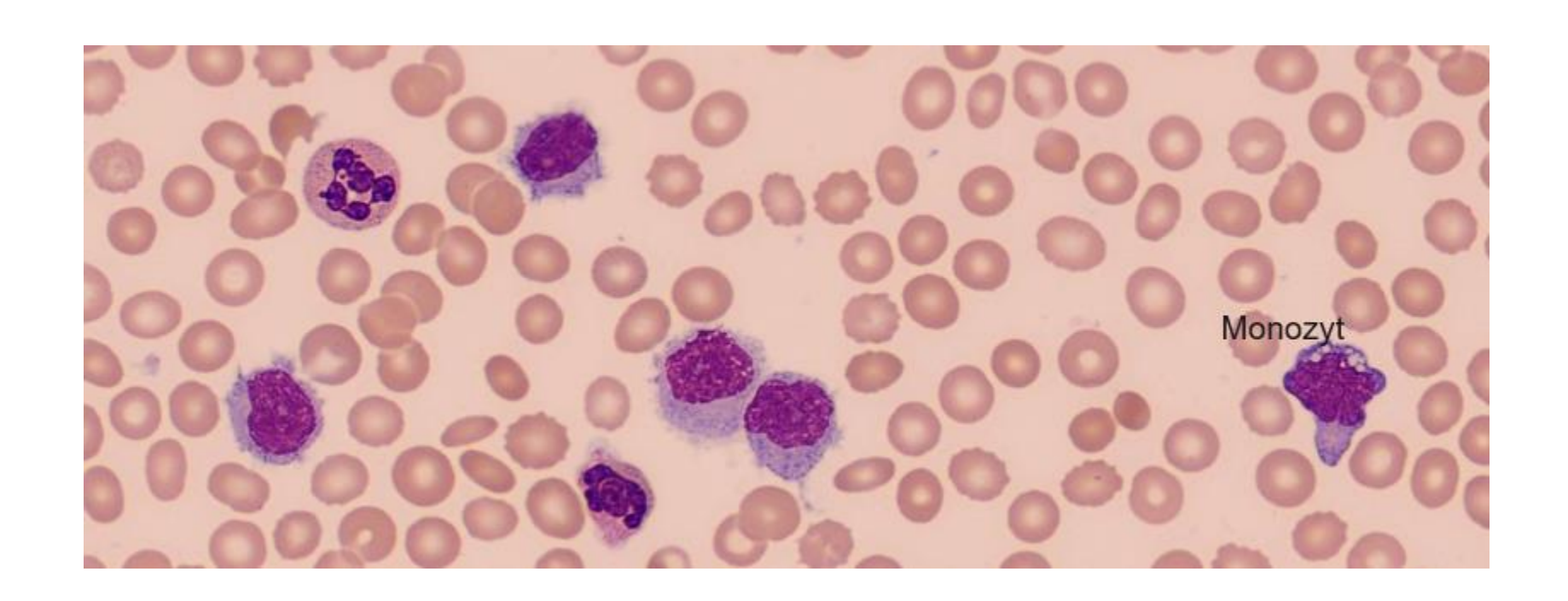
Haarzellleukämie (HZL)

Immunphänotypisierung

- Expression von CD103, CD11c und CD25
- Dieses sehr spezifische Expressionsmuster kann sehr gut und mit hoher Sensitivität zur Messung der minimalen/messbaren Resterkrankung (MRD) verwendet werden.



Haarzellleukämie Variante (HZL-v) Splenisches B-Zell-Lymphom/Leukämie mit prominenten Nukleoli (SBLPN) WHO 2022





Haarzellleukämie Variante (HZL-v) Splenisches B-Zell-Lymphom/Leukämie mit prominenten Nukleoli (SBLPN) WHO 2022

- Eigene Entität.
- Ausgeprägten Unterschiede zur HZL (nicht verwandte Biologie zur HZL).
- Die variante Form der Haarzellleukämie wird weiterhin als Alternative zum SBLPN akzeptiert (WHO 2022).



Haarzellleukämie Variante (HZL-v) Splenisches B-Zell-Lymphom/Leukämie mit prominenten Nukleoli (SBLPN) WHO 2022

Klassifikation

- das splenisches B-Zell-Lymphom/Leukämie mit prominenten Nukleoli (SBLPN) gehört laut WHO-Klassifikation 2022 zu den reifen B-Zellneoplasien
- WHO-Klassifikation von 2017 wurde das SBLPN unter dem Namen "Haarzellleukämie Variante (HZL-v)" geführt (Swerdlow et al. 2017), der als alternativer Name auch in der neuen Klassifikation noch akzeptiert wird.
- seltene Erkrankung
- einige zytomorphologische und immunphänotypische Eigenschaften mit der <u>Haarzellleukämie</u>
- SBLPN ist eine aggressivere Erkrankung ohne BRAF-Mutation V600E.



Haarzellleukämie Variante (HZL-v) Splenisches B-Zell-Lymphom/Leukämie mit prominenten Nukleoli (SBLPN) WHO 2022

Zytomorphologie

- der Anteil der atypischen lymphatischen Zellen im peripheren Blut zwischen 20% und 95%
- es können im Gegensatz zur HZL vereinzelt Monozyten zur Darstellung kommen
- mittelgroß bis große Zellen mit reichlich basophilem oder blassem Zytoplasma mit feinen oder wenig definierten Fortsätzen
- Typischerweise liegt ein großer, prominenter einzelner Nukleolus vor
- umlaufenden haarförmig Zytoplasmaausziehungen
- Knochenmark weist eine normale oder erhöhte Zellularität auf, mit einem variablen, oft leichten
 Grad an lymphatischer Infiltration und leichter Fibrose
- In späteren Krankheitsstadien kann ein diffuses Muster auftreten. Als diagnostisches Merkmal gelten mittelgroße atypische lymphoide Zellen mit relativ viel Zytoplasma, rundem Zellkern und einem auffälligen Nukleolus (WHO 2022)



Haarzellleukämie Variante (HZL-v)
Splenische/s B-Zell-Lymphom/Leukämie mit prominenten Nukleoli (SBLPN) WHO 2022

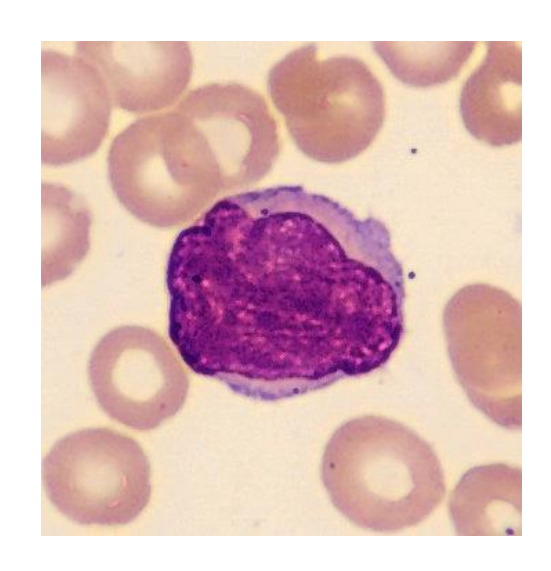
Immunphänotypsierung

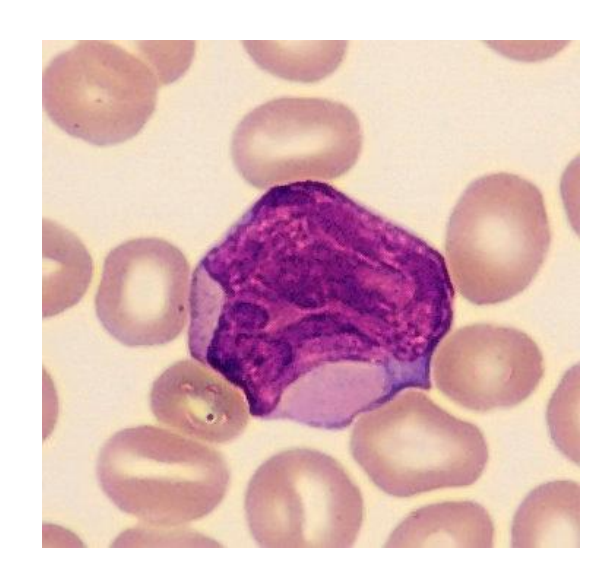
Die neoplastischen Zellen exprimieren monotypisches Oberflächen-Immunglobulin (häufiger IgG, entweder allein oder mit einem anderen Isotyp), Pan-B-Zell-Antigene (CD19, CD20 und CD22, DBA-44), CD11c, CD103 und FMC7.

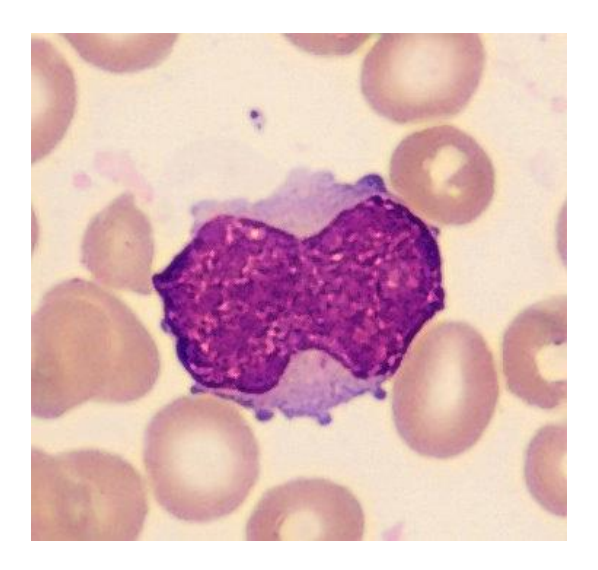
Im Gegensatz zur klassischen Haarzellleukämie werden CD25, Annexin A1, TRAP und CD123 nicht exprimiert.



Mantelzell-Lymphom (MCL)







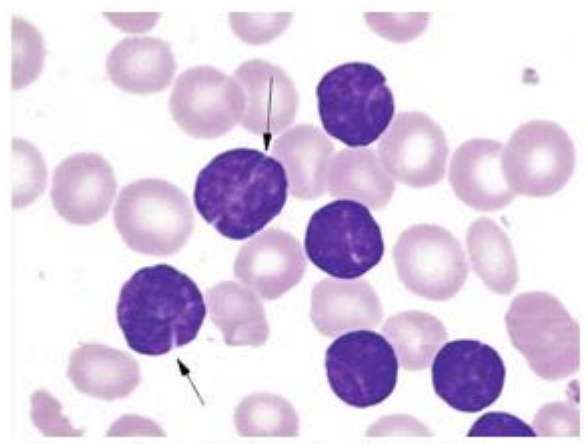


Mantelzell-Lymphom (MCL)

- reife B-Zell Neoplasie mit indolenten bis aggressiven Verläufen
- Charakteristisch ist die chromosomale Translokation t(11;14)(q13;q32) (IGH::CCND1) mit einer Überexpression von Cyclin D1, die in über 95% der Fälle vorliegt.

Gemäß der WHO wird das Mantelzell-Lymphom (MCL) entsprechend klinisch-pathologischer Eigenschaften und zugrundeliegender pathogener Signalwege in folgende Subtypen unterteilt:

- •In situ Mantelzell-Neoplasie (ISMCN)
- Mantelzell-Lymphom (MCL)
- Leukämisches nicht-nodales Mantelzell-Lymphom (nnMCL)



Cleaved Zells (in 25% der MCL Fälle)



Mantelzell-Lymphom (MCL)

Diagnostik

Die Beurteilung des Blut- und Knochenmarkausstrichs gibt eine erste wegweisende Aussage, ob eine Lymphomausschwemmung besteht oder möglich ist. Zudem sind Zytomorphologie und Histologie für die Beurteilung des Reifegrads der Mantelzell-Lymphome nützlich.

Gemäß der WHO-Klassifikation von 2022 gibt es klinisch **aggressive**, **morphologische Varianten** des MCL, zu denen die blastäre und die pleomorphe Variante gehören. Für beide Varianten sind hohe Proliferationsraten charakteristisch.

Die Lymphom-Zellen der **pleomorphen Variante** sind größer als die eines klassischen MCL und die Form des Nukleus sowie die Chromatin-Struktur ähneln denen eines diffus großzelligen B-Zelllymphoms (DLBCL). Zudem ist das Zytoplasma meist blass und die Nukleus-Konturen sind irregulär.

Die **blastäre Variante** ähnelt Lymphoblasten und zeigt rundliche Nuklei, eine hohe Mitose-Rate, einen engen Zytoplasma-Rand und zerstreutes Chromatin (Dreyling et al. 2018, WHO 2022).

Darüber hinaus zeigen sich in der Zytomorphologie als weitere Varianten noch das **kleinzellige MCL** (,small-cell') und das Marginalzonenähnliche MCL (WHO 2022).

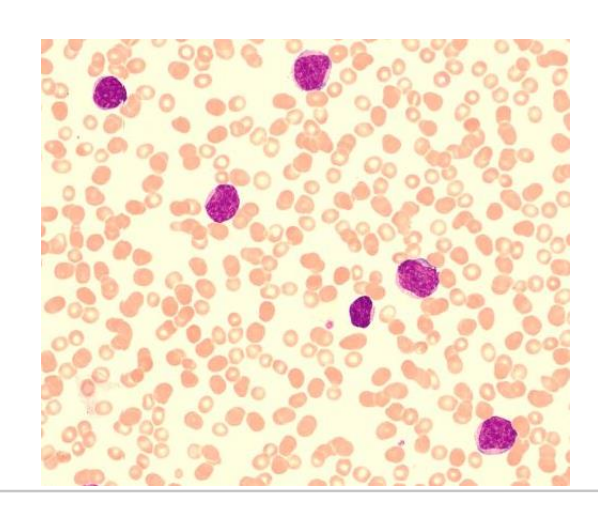


Mantelzell-Lymphom (MCL)

Zytomorphologie

Die Morphologie des Mantelzell-Lymphoms ist **heterogen**, wobei typischerweise mittelgroße Lymphozyten mit unregelmäßigen Kernen oder gekerbten Formen auftreten.

Aggressivere Varianten wie die blastoide und pleomorphe Form zeigen große, blastäre oder an Diffus-Großzellige B-Zell-Lymphome (DLBCL) erinnernde Zellen, während die indolente Variante kleinzellige Lymphozyten mit einem engen Zytoplasma aufweist.





Mantelzell-Lymphom (MCL)

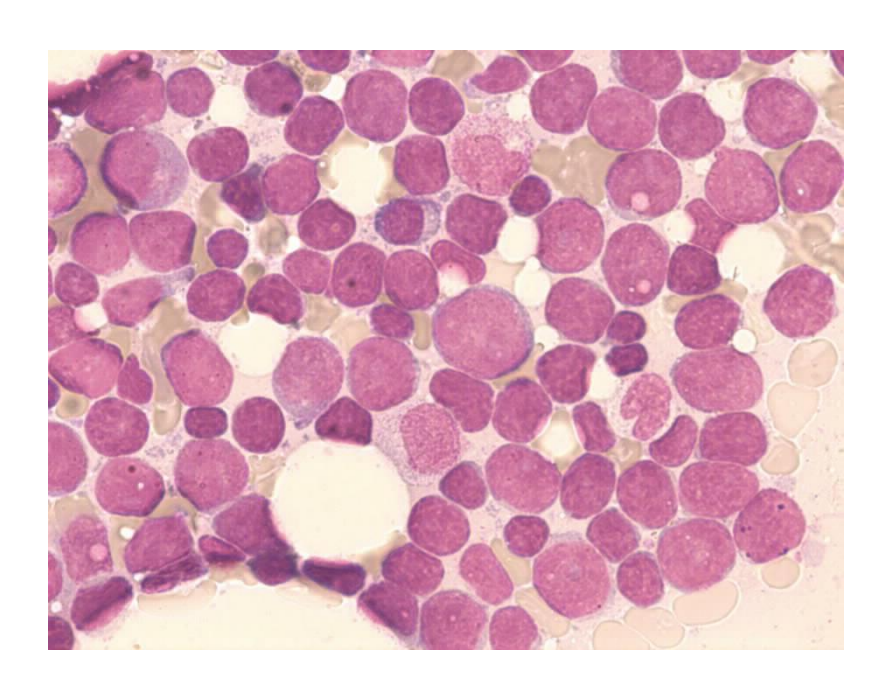
Immunphänotypisierung

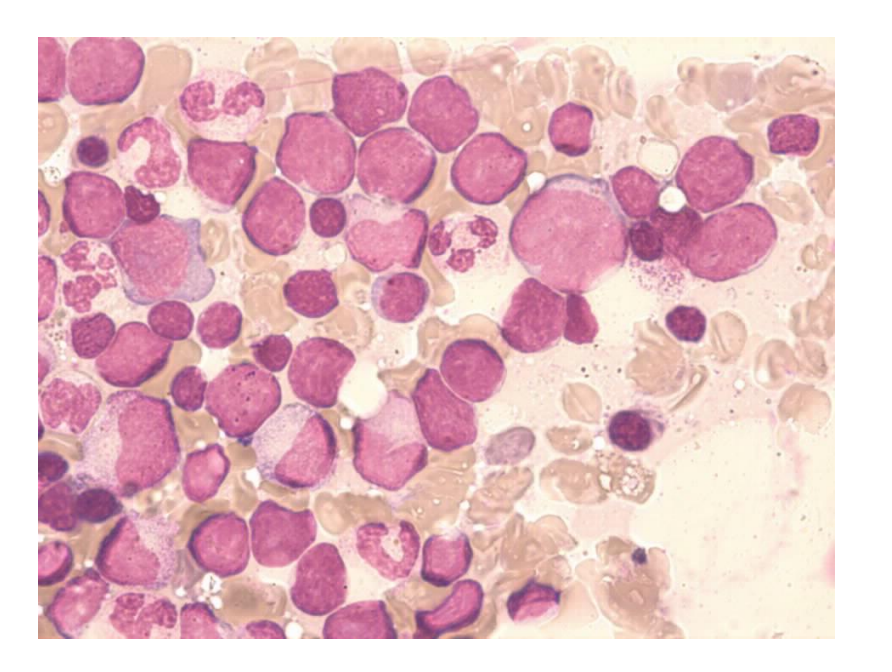
Mantelzell-Lymphome exprimieren CD5 und sind meist negativ für CD23 im Unterschied zur B-CLL.



Mantelzell-Lymphom (MCL)

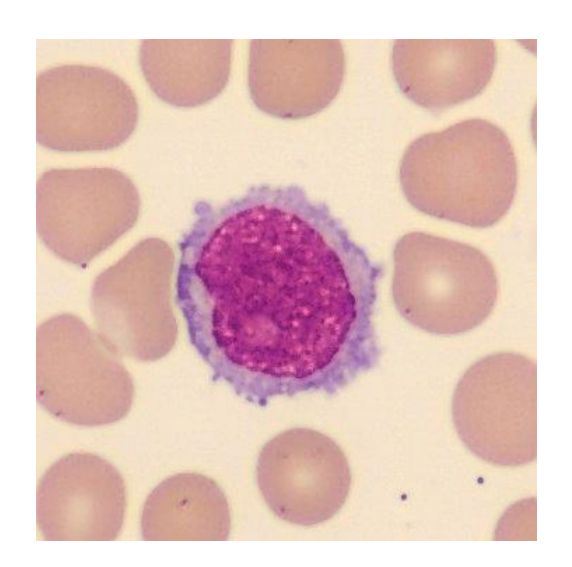
Lymphom Ausschwemmung: Mantelzell-Lymphom im Knochenmark. Leukämische Ausschwemmung.

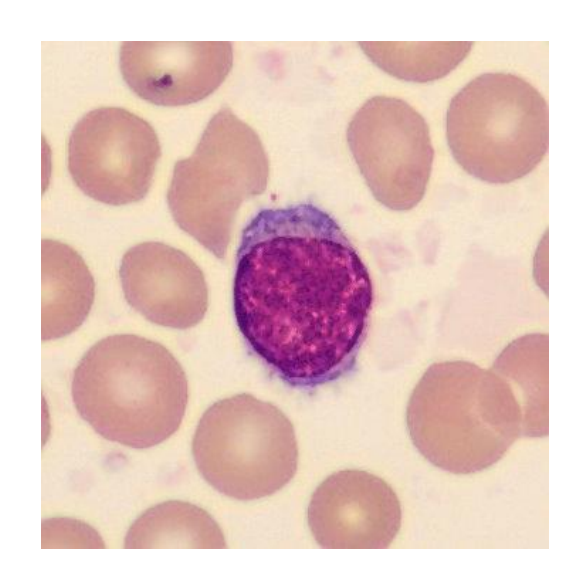


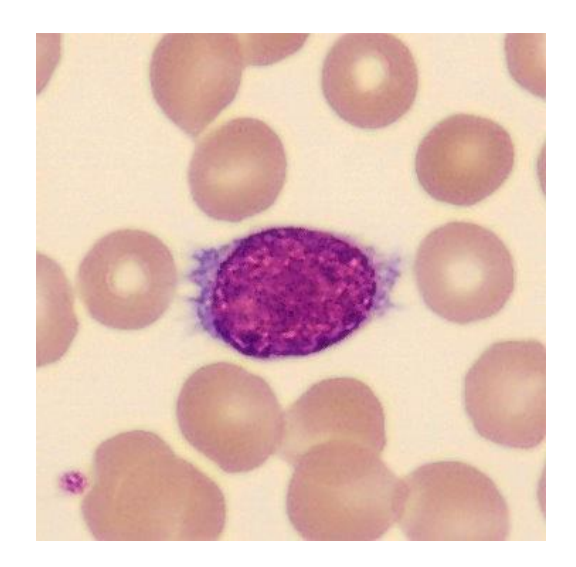




Splenisches Marginalzonenlymphom (SMZL)



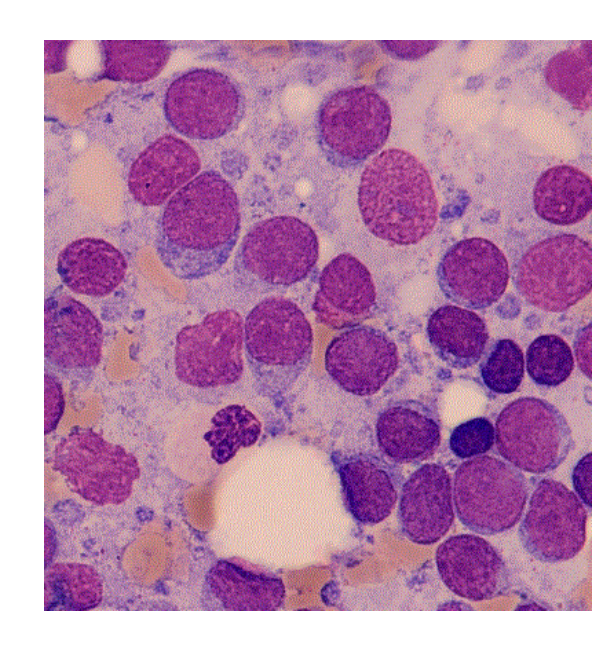






Splenisches Marginalzonenlymphom (SMZL)

- gehört zur Gruppe der splenischen B-Zell-Lymphome
- seltene reife B-Zellneoplasie mit indolentem klinischem Verlauf
- manifestiert sich in der Milz unter häufiger Beteiligung von Knochenmark und peripherem Blut
- Die Milz zeigt normalerweise einen Befall sowohl der weißen als auch der roten Pulpa, wobei die weiße Pulpa typischerweise erweitert ist (WHO 2022).
- Die WHO unterscheidet innerhalb der splenischen B-Zell-Lymphome und Leukämien folgende Entitäten (WHO 2022):
 - Haarzellleukämie (HZL)
 - Splenisches Marginalzonenlymphom (SMZL)
 - Splenisches diffus kleinzelliges B-Zell-Lymphom der roten Pulpa (SDRPL)
 - Splenisches B-Zell-Lymphom/Leukämie mit prominenten Nucleoli (SBLPN)



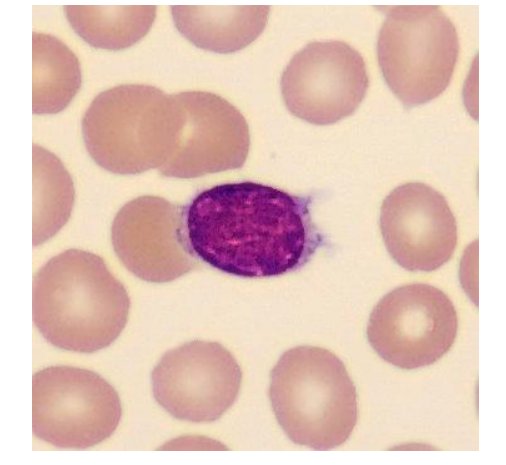


Splenisches Marginalzonenlymphom (SMZL)

Zytomorphologie

- Knochenmarkausstrich: eine erste wegweisende Aussage, ob eine Lymphomausschwemmung oder eine Lymphominfiltration vorliegt.
- Beurteilung des Reifegrads

 Peripherer Blutausstrich: lymphatische Zellen mit kurzen, polar angeordneten Villi, plasmozytoide lymphatische Zellen und unauffällige Lymphozyten nachgewiesen werden





Splenisches Marginalzonenlymphom (SMZL)

Immunphänotypisierung

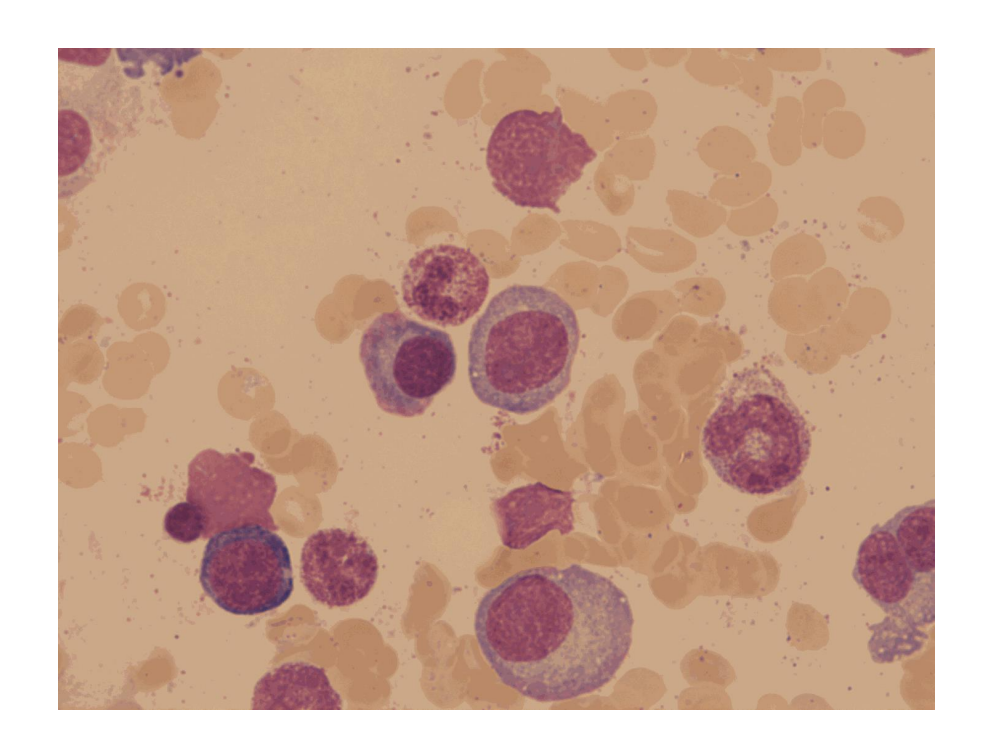
Die neoplastischen Zellen exprimieren die B-Zell-Antigene CD19, CD20, CD22, CD79a/b, PAX5, CD27 und CD38 (dim). Häufig liegt eine Expression von membranständigem Immunglobulin (meist IgM, seltener IgD) und FMC7 vor. BCL6, Annexin A1, CD103, Cyclin D1, SOX11 und LEF1 werden hingegen typischerweise nicht exprimiert (WHO 2022).

In der Regel werden auch CD5 und CD10 nicht exprimiert. In seltenen Fällen kann es jedoch zu einer Expression von CD5 kommen, die nicht mit einer veränderten Prognose assoziiert ist (Baseggio et al. 2010). Da CD5 ein wichtiger Marker zur Abgrenzung eines splenischen Marginalzonenlymphoms gegenüber anderen lymphatischen Entitäten wie der chronischen lymphatischen Leukämie oder dem Mantelzell-Lymphom ist, muss diese auch anhand morphologischer und genetischer Parameter erfolgen. Frühere Studien zeigten zudem, dass die Antigene CD11c, CD23, CD25, CD43 und Cyclin D1 variabel exprimiert werden können.

Im Gegensatz zum Mantelzell-Lymphom wird Cyclin D1 beim splenischen Marginalzonenlymphom nur schwach exprimiert und kann zur Differenzierung dienen (Arcaini et al. 2016, Piris et al. 2017).



Multiples Myelom





Multiples Myelom

Gehört zu der Gruppe der Plasmazellneoplasien (WHO 2022)

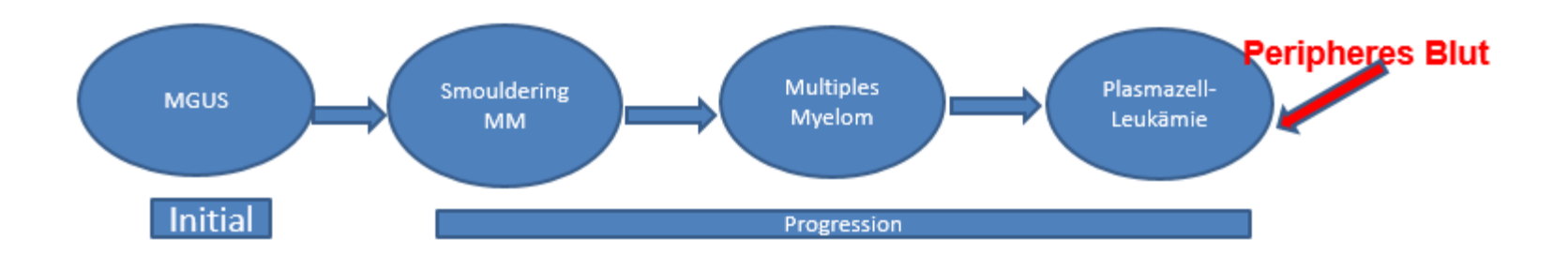
Wichtig zur Differenzierung des multiplen Myeloms, der monoklonalen Gammopathie unklarer Signifikanz (MGUS) und des schwelenden multiplen Myeloms (SMM)

Die zytomorphologische Untersuchung von Knochenmarkaspiraten oder -biopsien wird standardmäßig zur Beurteilung von Anzahl und Atypien der Plasmazellen (PZ) durchgeführt.

In Kombination mit der Immunphänotypisierung oder Pathologie dient dies in erster Linie zur Abgrenzung des multiplen Myeloms (>10% klonale PZ) von der MGUS (<10% klonale PZ).



Multiples Myelom





Multiples Myelom

Basisdiagnostik

- Monoklonale Gammopathie ist meist ein Zufallsbefund, der primär durch eine stark beschleunigte BSG und ein erhöhtes Gesamteiweiß im Serum auffallen kann. Auch das Serumcalcium ist meist erhöht. In der Serumeiweißelektrophorese erkennt man eine Erhöhung der Gammafraktion (sogenannter "M-Gradient") im Sinne einer Paraproteinämie.
- Bei der Diagnostik eines Myeloms muss man bedenken, dass der M-Gradient beim Bence-Jones-Myelom und beim asekretorischen Myelom fehlen kann. Weiterhin ist der M-Gradient beim IgA-Myelom oft in den Beta-Bereich verschoben. Zur genauen Typisierung des monoklonalen Immunglobulins ist eine Immunfixationselektrophorese des Serums notwendig. Hierbei ist der Immunglobulin-Isotyp feststellbar:
- häufig monoklonales IgG, IgA oder IgM seltener IgD oder IgE möglich sind auch nur die freien Leichtketten κ oder λ
- sowie nur die Schwerketten von IgA, IgD, IgE, IgG oder IgM.
- Außerdem können freie Leichtketten und Immunglobuline quantitativ im Serum gemessen werden.
- Des Weiteren ist eine Abklärung der Nierenbeteiligung Bestandteil der Basisdiagnostik. Dazu wird ein Urinstatus erhoben und qualitativ auf Eiweiß im Urin getestet, um eine Bence-Jones-Proteinurie auszuschließen.
- Gegebenenfalls ist eine Immunfixationselektrophorese des Urins zur Differenzierung der Proteine notwendig.
- Die weitere Labordiagnostik umfasst:
 - Differenzialblutbild
 - · Kreatinin, Harnstoff, Harnsäure
 - Transaminasen (AST, ALT), alkalische Phosphatase, aPTT
 - CRP, LDH, β2-Mikroglobulin



Multiples Myelom

Immunphänotypisierung

CD45, CD19, CD56 und CD138 sind relevante Oberflächenmarker beim multiplen Myelom

Maligne Plasmazellen zeigen im Vergleich zu gesunden, polyklonalen Plasmazellen oftmals eine verminderte oder fehlende Expression des Pan-Leukozytenantigens CD45 sowie des B-Zellmarkers CD19. Darüber hinaus fällt in vielen Fällen eine aberrante Expression des Antigens CD56 auf, welches normalerweise auf Plasmazellen nicht relevant exprimiert wird.

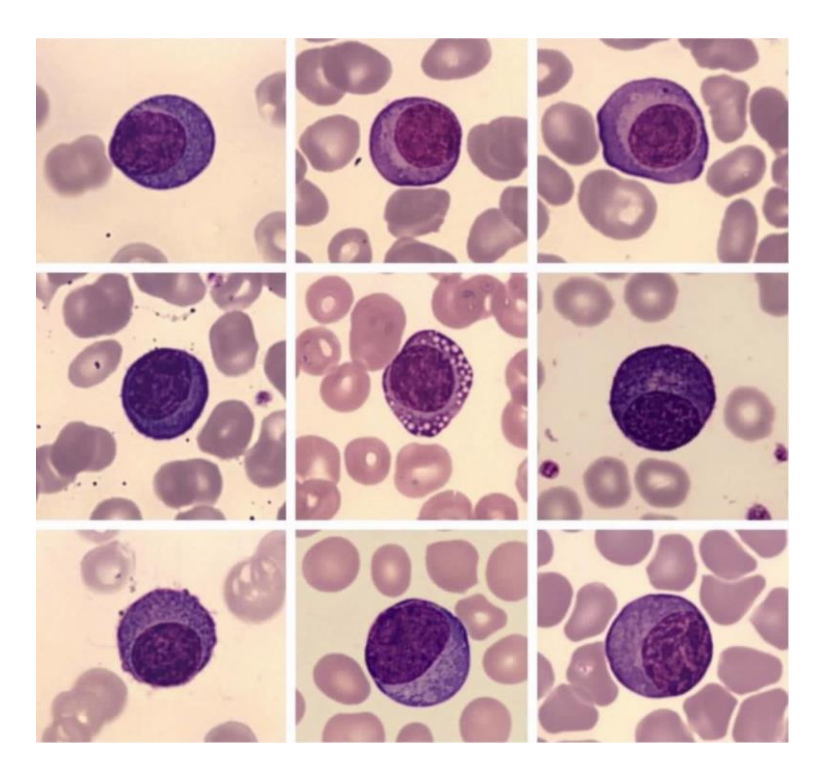
In einigen Fällen kommt es zu einem Verlust der Expression von CD27 und/oder CD81. In etwa einem Drittel der Fälle kann eine aberrante Expression von CD20, CD28, CD33 und CD117 festgestellt werden (WHO 2022).



Multiples Myelom

Zytomorphologie

Plasmazellen haben eine rundliche bis ovale Form und weisen einen Durchmesser von etwa 10 bis 18µm auf. Sie haben ein leicht basophiles Zytoplasma. Der Kern der Plasmazelle zeigt eine typische Radspeicherstruktur und ist meist exzentrisch gelegen. Die Erythrozyten zeigen in der Regel eine Geldrollenbildung (Paraproteine)



Plasmazellen einer Plasmazellleukämie (peripheres Blut DC1 Bild)



POEMS Syndrom

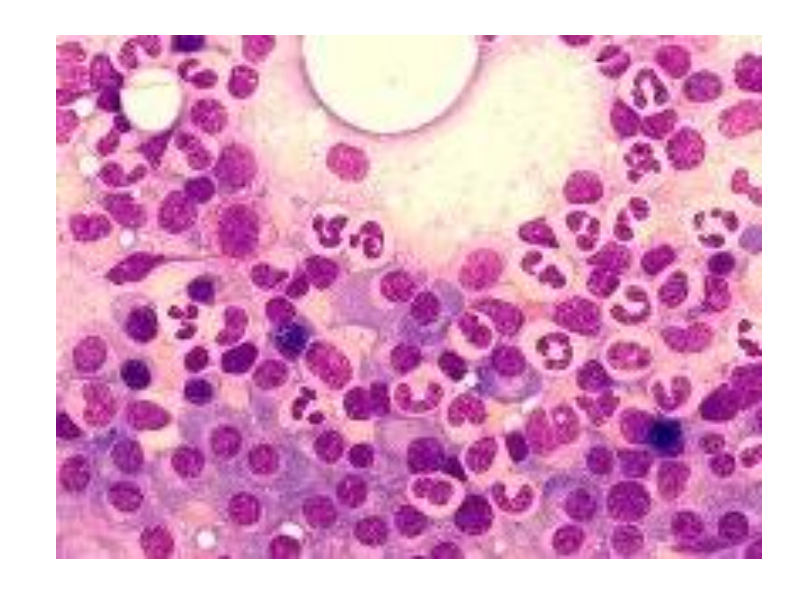
P = Polyneuropathie

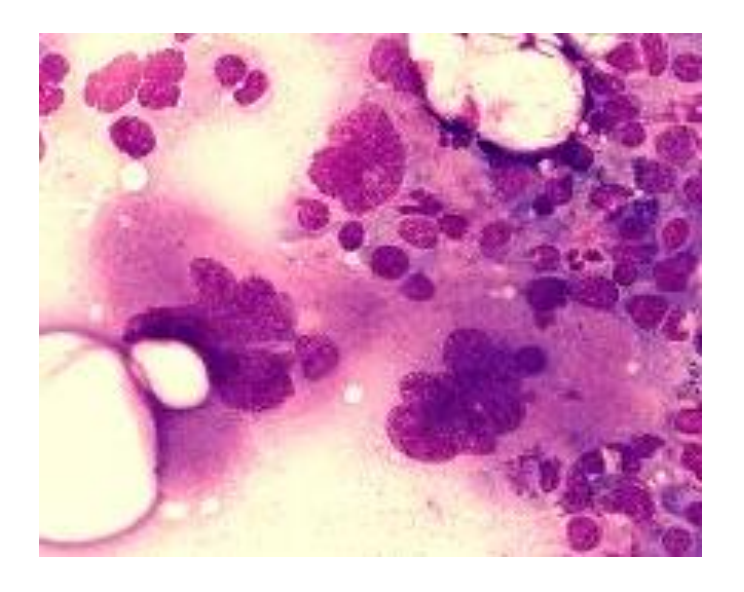
O = Organomegalie

E = Endokrinopathie

M = Monoklonales Protein

S = Skin changes

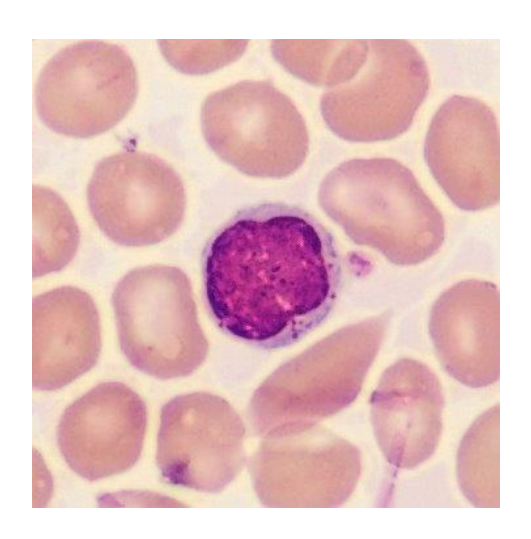


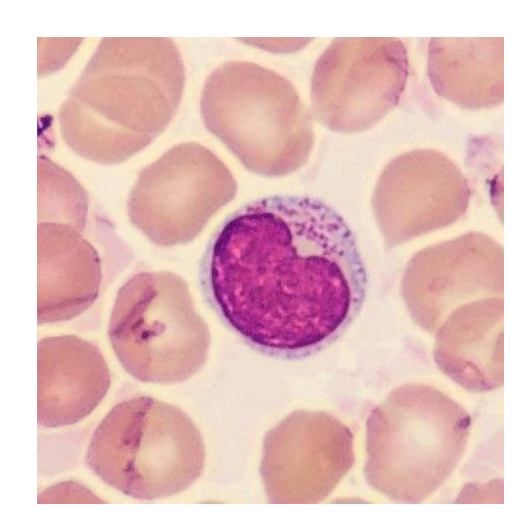


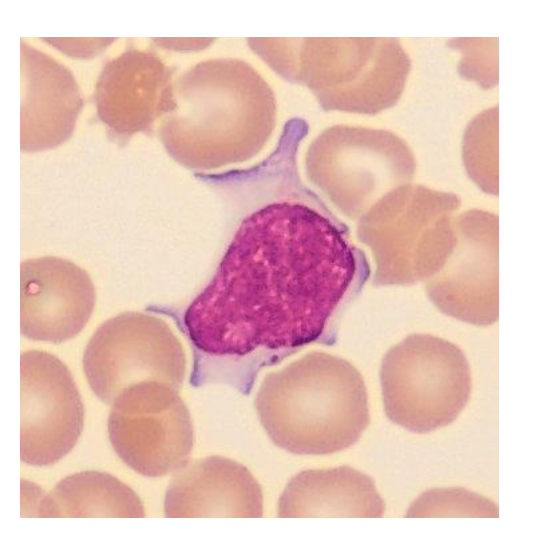
Typisch ist die Morphologie mit Plasmazellen (66% der Patienten weisen eine Lambda Leichtkettenrestriktion auf). Häufig vermehrt eingestreut Lymphozyten mit Steigerung und zum Teil in Gruppen liegendem Megakaryozyten. Die Patienten haben meist eine im Vordergrund stehen Polyneuropathie.



Follikuläres Lymphom









Follikuläres Lymphom

Klassifikation

- Das Follikuläre Lymphom zählt laut WHO-Klassifikation 2022 zu den reifen B-Zellneoplasien und macht 10-20% aller Lymphome aus.
- Es entsteht aus den B-Zellen des Keimzentrums des Lymphfollikels (Zentrozyten & Zentroblasten).



Follikuläres Lymphom WHO Klassifikation 2022

Variante Formen des Follikulären Lymphoms		
Klassisches FL (cFL)		IGH::BCL2/t(14;18) positiv
Follikuläres großes B-Zell- Lymphom (FLBL)		Ähnelt größtenteils FL Grad 3B
FL mit ungewöhnlichen Merkmalen (uFL)	FL mit blastoiden/großen Zentrozyten	Variante immunphänotypische und genotypische Charakteristika, schlechtere Prognose, Unterscheidung von LBCL-IRF4 wichtig
	FL mit diffusem Wachstumsmuster	Assoziiert mit CD23-Expression, keine BCL2-Translokation, häufig STAT6-Mutationen zusammen mit 1p36-Deletion oder TNFRS14- Mutation
In situ Follikuläre B-Zell- Neoplasie (ISFN)		Infiltration einzelner Keimzentren mit IGH::BCL2 t(14;18)-positiven Zellen; geringes Progressionspotential
Duodenales FL		IGH::BCL2/t(14;18) positiv, meist auf Darmmukosa beschränkt, geringes Progressionsrisiko
Pädiatrisches FL		Keine BCL2-Translokation
Diffuse Variante des Follikulären Lymphoms (dFL)		Keine IGH::BCL2/t(14;18)-Translokation, ähnliches Expressionsprofil wie typisches FL

Sabine Haase, Marienhospital Düsseldorf



Ann-Arbor-Klassifikation

1 Definition

 Die Ann-Arbor-Klassifikation dient der Stadieneinteilung von Hodgkin- und Non-Hodgkin-Lymphomen. Das Tumorstadium bei Diagnosestellung stellt den wichtigsten prognostischen Faktor der Erkrankung dar, denn die Zahl der befallenen Lymphknotenregionen beeinflusst sowohl die Remissionsdauer als auch das Gesamtüberleben.

2 Hintergrund

Die Klassifikation wurde im Jahr 1971 erarbeitet. Sie dient nur dem Staging und enthält keine Informationen zum Grading des Lymphoms.

3 Stadieneinteilung

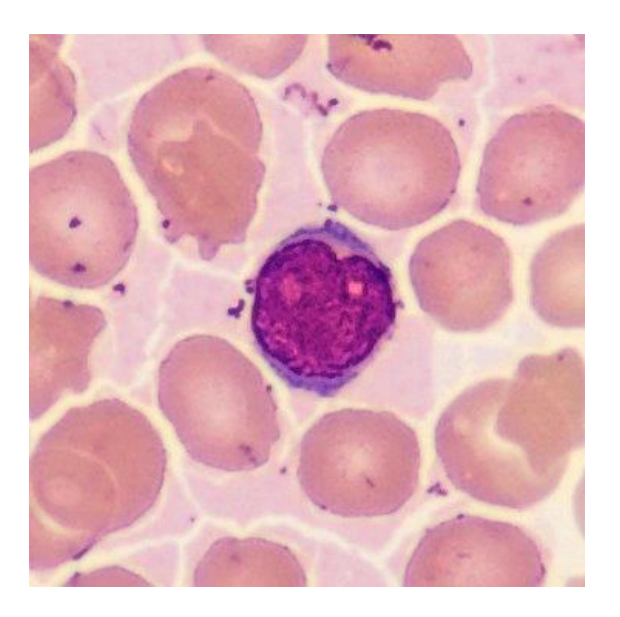
- Stadium I: Befall einer einzigen Lymphknotenregion (I) oder Vorliegen eines einzigen extranodalen Herdes (I_E)
- Stadium II: Befall von zwei oder mehreren Lymphknotenregionen auf einer Seite des Zwerchfells (II) oder Vorliegen eines lokalisierten Befalls eines einzelnen extralymphatischen Organs (II_E) mit dem Befall von einer oder mehreren Lymphknotenregionen auf derselben Seite des Zwerchfells
- Stadium III: Befall von Lymphknotenregionen auf beiden Seiten des Zwerchfells ggf. mit zusätzlichem Befall eines extralymphatischen Organs (III_E), gleichzeitigem Befall der Milz (III_S) oder beidem (III_{E+S})
- Stadium IV: Disseminierter Befall von einem oder mehreren extralymphatischen Organen mit oder ohne Befall von Lymphknoten
- Die einzelnen Stadien k\u00f6nnen durch Zus\u00e4tze erg\u00e4nzt werden, u.a.:
 - A ohne B-Symptomatik
 - B mit B-Symptomatik
 - E mit Extranodalbefall
 - S mit Milzbefall
 - X Bulky-Disease: Tumor >10 cm Durchmesser oder Mediastinum >1/3 des Thorax Durchmesser



Follikuläres Lymphom WHO Klassifikation 2022

Zytomorphologie

- Morphologische Kriterien, Lymphozyten zeigen vereinzelt einen gekerbten Kern
- Die Diagnose FL verlangt eine histologische Untersuchung.
 - Wachstumsmuster innerhalb des Lymphknotens.





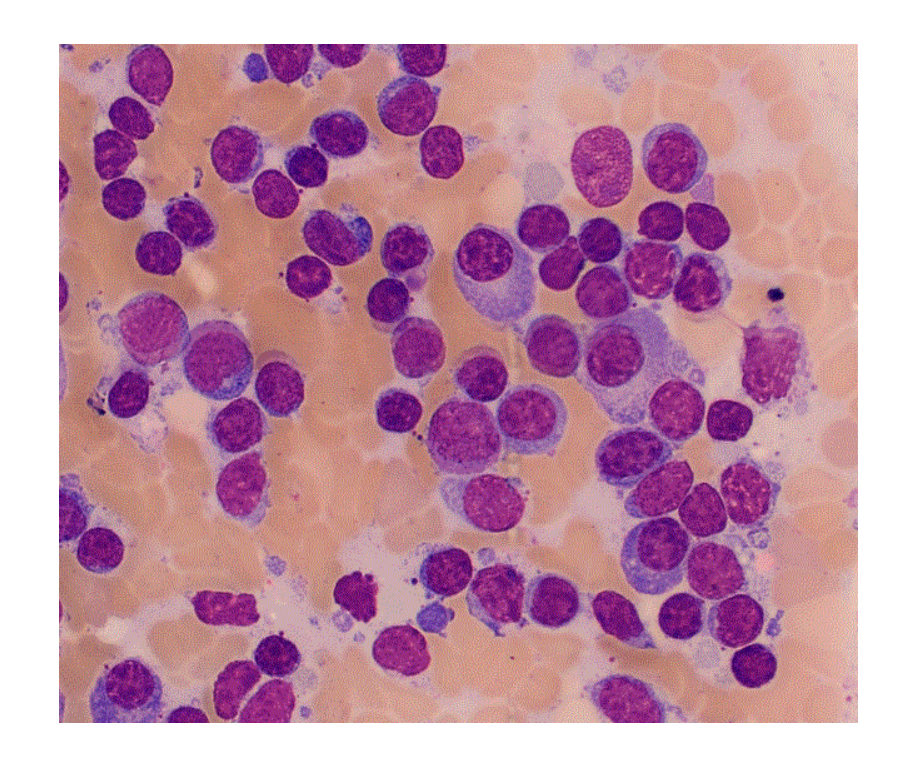
Follikuläres Lymphom WHO Klassifikation 2022

Immunphänotypisierung

Follikuläre Lymphome weisen eine starke Oberflächenexpression von Immunglobulinen auf und exprimieren meist CD10, BCL2 und BCL6, wohingegen CD5 und CD43 nicht exprimiert werden.



Lymphoplasmozytisches Lymphom (LPL) – Morbus Waldenström (WHO 2022)





Lymphoplasmozytisches Lymphom (LPL) - Morbus Waldenström (WHO 2022)

- Ist eine seltene chronische lymphoproliferative Erkrankung, die meist indolent verläuft.
- Kiel Klassifikation: Immunozytom, lymphoplasmazytischer Typ

Unterscheidung von 2 Subtypen:

- Morbus Waldenström / IgM-LPL die weit häufigere ist.
- Nicht-Morbus Waldenström-LPL machen nur etwa 5% der LPL aus.
 - Zu ihnen gehören Fälle mit IgG- oder IgA-monoklonalen Proteinen, nicht-sekretorische LPL und IgM-LPL ohne Knochenmarkbeteiligung (WHO 2022).



Lymphoplasmozytisches Lymphom (LPL) - Morbus Waldenström (WHO 2022)

Immunphänotypisierung

Die neoplastischen Zellen exprimieren pan-B-Zellmarker (CD19, CD20, CD79, CD22), wobei CD22 in der Regel nur schwach exprimiert wird. Die Lymphomzellen sind meist positiv für die Marker CD25, CD27, FMC7, CD52, CD38 und exprimieren IgM.

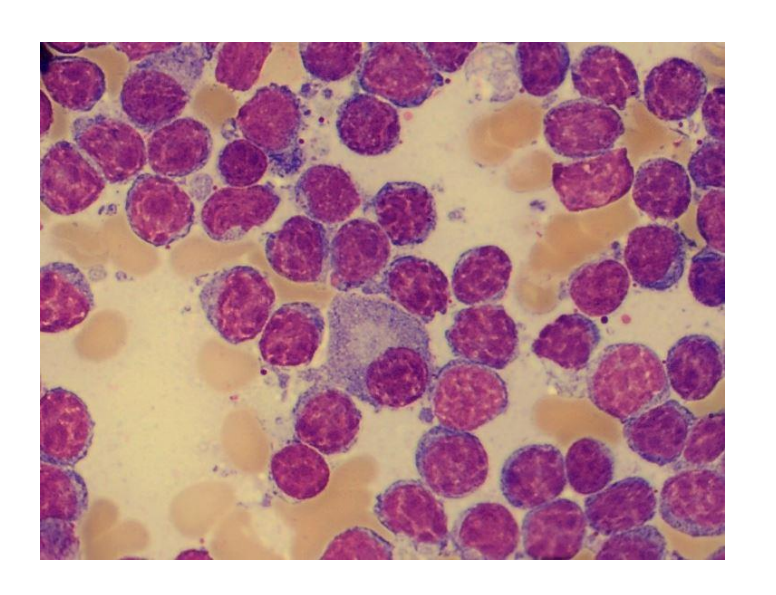
Typischerweise sind die entarteten Zellen negativ für CD5, CD10, CD103 und CD23. BCL2 wird in der überwiegenden Mehrheit der Fälle exprimiert (98%) und stellt ein potentielles therapeutisches Ziel dar (Paiva et al. 2014, Swerdlow et al. 2017, Dimopoulos & Kastritis 2019, WHO 2022).



Lymphoplasmozytisches Lymphom (LPL) - Morbus Waldenström (WHO 2022)

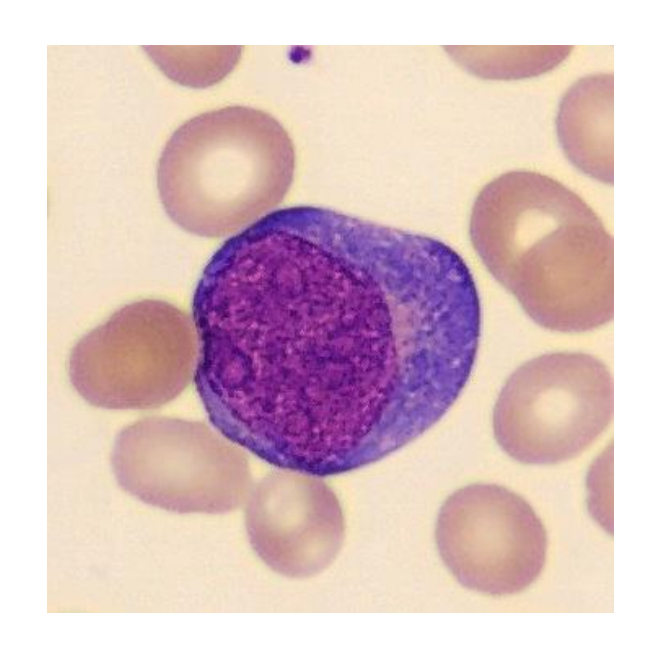
Zytomorphologie

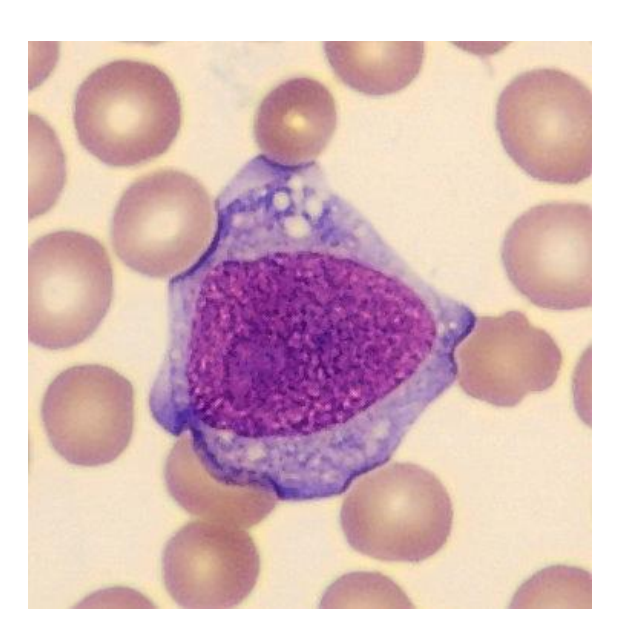
- -Typische Lymphoplasmazytische Zellen, deren Kerne lymphozytisch erscheinen, während das Zytoplasma mehr den Plasmazellen ähnelt.
- Dutcher Bodies im Kern
- Vereinzelt Kryoglobulinämie (-> IgM) (Rosettenform der Erythrozyten)
- Bei Hyperviskosität zeigen die Erythrozyten eine Geldrollenbildung





Diffus großzelliges B-Zelllymphom (DLBCL)

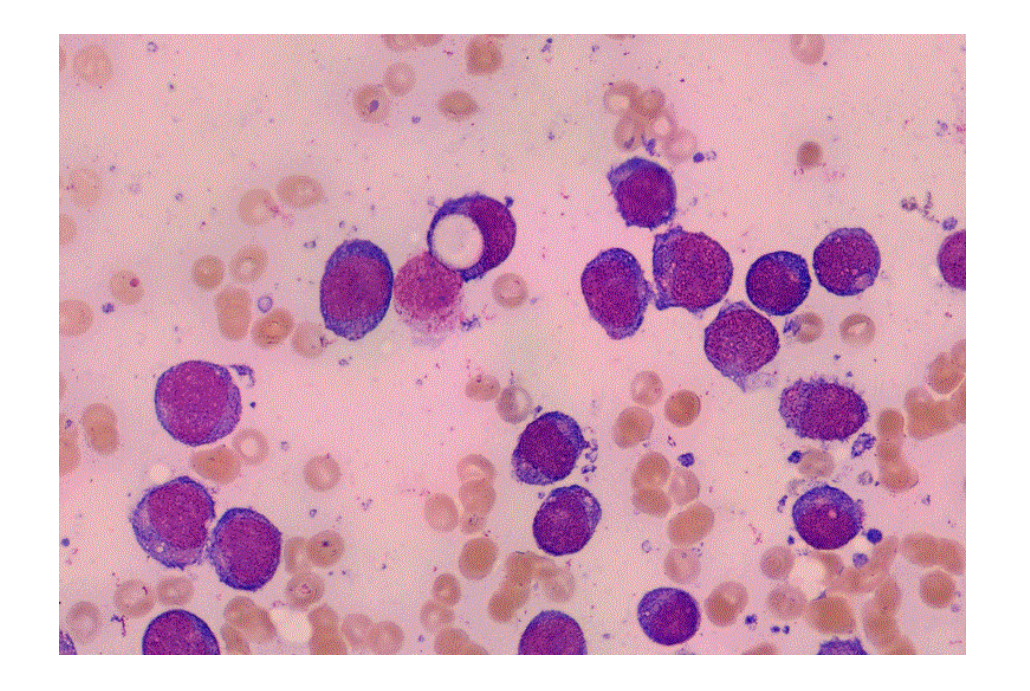






Diffus großzelliges B-Zelllymphom (DLBCL)

- das häufigste Lymphom bei Erwachsenen
- aggressiv verlaufendes Lymphom





Diffus großzelliges B-Zelllymphom (DLBCL)

Klassifikation

- Neben dem DLBCL, NOS umfasst die WHO-Klassifikation weitere eigenständige DLBCL-Entitäten
- Definierende Kriterien für diese sind die Lokalisation sowie Assoziation zu einer chronischen Inflammation oder zu bestimmten Viren (EBV, KSHV/HHV8)
- Bei DLBCL, NOS können MYC-, BCL2- oder BCL6-Translokationen auftreten, welche eine wesentliche Rolle für die Differentialdiagnostik spielen. Sind gleichzeitig ein MYC- und ein BCL2-Rearrangement nachweisbar, so ist ein diffus großzelliges B-Zelllymphom/hochmalignes-B-Zelllymphom mit MYCund BCL2-Rearrangements (DLBCL/HGBL-MYC/BCL2) zu diagnostizieren
- Bei gleichzeitigem Vorliegen eines MYC- sowie eines BCL6-Rearrangements ist die Zytomorphologie für die Klassifikation als DLBCL, NOS oder HGBL (Hochmaligne B-Zelllymphome) NOS entscheidend (WHO 2022)
- HGBL (Hochmaligne B-Zelllymphome) mit 11q Aberration (früher Burkitt-like)



Diffus großzelliges B-Zelllymphom (DLBCL)

Zytomorphologie

DLBCL, NOS unterteilt werden in zentroblastische, immunoblastische, anaplastische und seltene Varianten. Mit etwa 80% der Fälle ist der zentroblastische Subtyp am häufigsten (WHO 2022).

HGBL-11q:

 Weisen mittelgroße bis große lymphoide Zelle auf sowie ein kaum basophiles Zytoplasma, normalersweise ohne Vakuolen



Diffus großzelliges B-Zelllymphom (DLBCL)

Immunphänotypisierung

Die neoplastischen Zellen exprimieren CD45 und pan-B-Zellmarker (CD19+, CD20+, CD22+, CD79a+, PAX5+), unter Umständen fehlen aber auch einer oder mehrere dieser Marker.

Die Mehrzahl der DLBCL, NOS-Fälle zeigt Expression von membranständigem und zytoplasmatischen Immunglobulin (meist IgM, seltener IgG und IgA).

Das Antigen CD10 wird bei 30-50% der Fälle exprimiert.

Der Marker CD138 ist typischerweise negativ, CD30 ist nur bei 10-20% positiv.

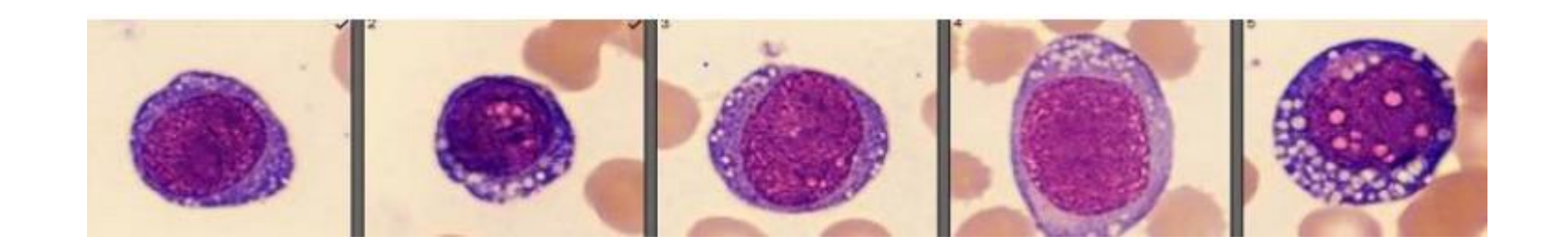
Bei EBV+ DLBCL ist dieser Marker meist positiv.

Nur 5-10% der DLBCL, NOS sind positiv für CD5, es besteht dabei eine starke Assoziation zur *de novo* DLBCL (WHO 2022).

HGBL-11q: Zusätzlich Expression von CD 16, CD56 oder CD8 und fehlender Expression von CD38



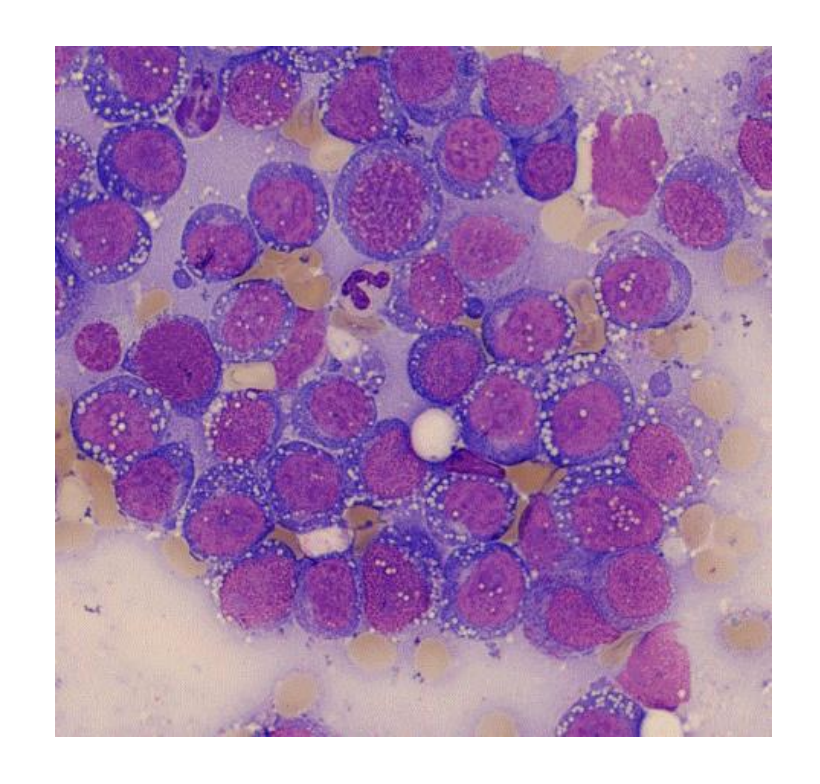
Burkitt-Lymphom (BL)





Burkitt-Lymphom (BL)

- aggressives Lymphom
- außerordentlich hohe Zellteilungsrate der B-Zellen
- Zytomorphologie und Histologie richtungweisend
- Knochenmark: Aussage Lymphominfiltration / Reifegrad des Lymphoms
- Zellen mit mittelgroßen blastären Formen, die durch ein tief-basophiles Zytoplasma mit charakteristischer Vakuolisierung auffallen.
 Die Kerne sind rund und es können multiple basophile Nucleoli beobachtet werden





Klassifikation des Burkitt Lymphoms

Die WHO unterscheidet verschiedene Subtypen des Burkitt-Lymphoms (BL). Traditionell werden die klinischen Varianten des endemischen BL, des sporadischen BL und des Immundefizienz-assoziierten BL unterschieden. Die WHO empfiehlt seit 2022 jedoch, die Subtypen nach dem gleichzeitigen Vorliegen des Epstein-Barr-Virus (EBV) in das **EBV-assoziierte BL** und das **EBV-negative BL** zu unterscheiden (WHO 2022). Diese Unterscheidung betont die biologische Heterogenität der Erkrankung (López et al. 2022).

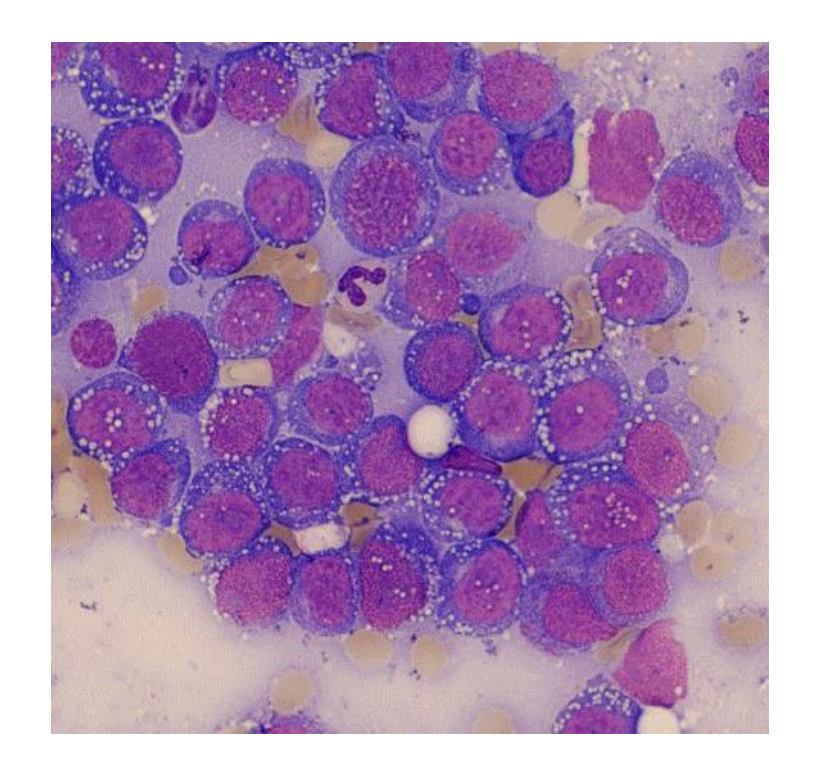
Klassische Burkitt-Lymphom-Subtypen Immundefizienz-assoziiertes Burkitt-**Endemisches Burkitt-Lymphom** Sporadisches Burkitt-Lymphom Häufigste Krebserkrankung bei - Meist außerhalb der endemischen Lymphom - Tritt häufiger bei HIV-Infizierten auf Kindern in Äquatorialafrika/Papua Gebiete - weniger häufig bei Kindern als bei anderweitig Neuguinea immunsupprimierten Patienten Assoziiert mit EBV* in >90% der Fälle - EBV* in ca. 20% der Fälle Empfohlene Burkitt-Lymphom-Subtypen nach WHO 2022 **EBV-assoziiertes Burkitt-Lymphom EBV-negatives Burkitt-Lymphom** *EBV=Epstein-Barr-Virus



Burkitt-Lymphom (BL)

Zytomorphologie

- Zellen mit mittelgroßen blastären Formen, die durch ein tief-basophiles Zytoplasma mit charakteristischer Vakuolisierung auffallen.
 - Die Kerne sind rund und es können multiple basophile Nucleoli beobachtet werden





Burkitt-Lymphom (BL)

Immunphänotypsierung

Charakteristisch für das BL ist die Expression von CD19, CD20, CD10, CD38, CD43, CD81, FMC-7 und MYC.

Hierbei ist die Expression von CD38 und CD81 besonders ausgeprägt.

Typisch ist zudem, dass BL-Tumorzellen nur wenig CD45 exprimieren.

BCL2, CD44 und TdT werden nicht exprimiert (WHO 2022).

Die Abgrenzung gegenüber einer anderen B-lymphoblastischen Neoplasie erfolgt über die fehlende Expression unreifer Marker (CD34, TdT) und über das Vorhandensein einer Leichtkettenexpression.

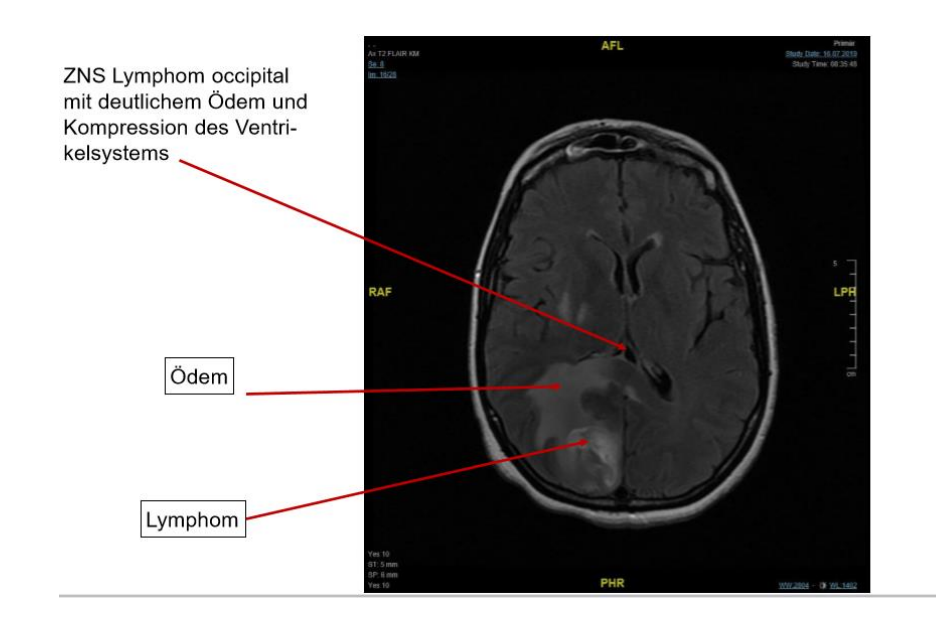


Burkitt-Lymphom (BL)

Da es keine Methode gibt, die den alleinigen Goldstandard in der Diagnostik des Burkitt-Lymphoms darstellt, ist ein integrierter diagnostischer Ansatz unter Berücksichtigung der Morphologie/Histologie, des Immunphänotyps und der Genetik zentral.

Aufgrund der häufigen ZNS-Beteiligung sollte zusätzlich eine Liquoruntersuchung durchgeführt werden.







Vielen Dank für Ihre Aufmerksamkeit!

Quellenangabe:

- MLL Diagnostik
- Manual Hämatologie 2025